





# 57 - CARACTERIZAÇÃO DE EFLUENTE DE INDÚSTRIA METAL-MECÂNICA APÓS TRATAMENTOS COMBINADOS DE FILTRAÇÃO, OZONIZAÇÃO E NEUTRALIZAÇÃO VISANDO A RECUPERAÇÃO DE NÍQUEL

Ana Carolina Favero<sup>1</sup>, Bruno Matheus Favero<sup>1</sup>, Gelsa Edith Navarro Hidalgo<sup>2</sup>, Silvio Roberto Taffarel<sup>1</sup>, Fernanda Siqueira Souza<sup>1</sup>

<sup>1</sup>Mestrado em Avaliação de Impactos Ambientais - Universidade La Salle - Canoas/RS <sup>2</sup>Universidade Federal do Rio Grande do Sul - Porto Alegre/RS

#### **RESUMO**

O processo de galvanoplastia envolve uma série de banhos galvânicos (químicos e eletroquímicos) pelos quais são submetidas as peças e materiais em tratamento. Cada banho galvânico é seguido por lavagens, originando elevado volume de efluentes, compostos por concentrações significativas de metais pesados como níquel, cromo, cobre, entre outros. Pela toxicidade e potencial poluidor que apresentam, os efluentes galvânicos devem ser adequadamente tratados antes de seu descarte na natureza, proporcionando sempre que possível, a recuperação de metais de alto valor agregado presentes nessas águas residuárias. Neste contexto, o presente estudo teve como objetivo investigar a eficiência da combinação dos processos de filtração, ozonização e neutralização na caracterização de um efluente de indústria metal-mecânica e dos precipitados obtidos após os tratamentos avaliados, visando a recuperação do níquel contido nesse efluente. Após os tratamentos realizados, observaram-se reduções nas concentrações de níquel (101,02 mg/L), ferro (<0,1 mg/L), cromo (<0,01 mg/L) e de outros metais na amostra líquida de efluente tratado. A amostra sólida obtida após os tratamentos combinados continha teores de 85,06% de NiO e baixa concentração de outros metais pesados, indicando a eficiência das técnicas utilizadas na recuperação de níquel e na redução das concentrações dos metais contaminantes.

PALAVRAS-CHAVE: Galvanoplastia, níquel, reuso.

# INTRODUÇÃO

A galvanoplastia é um processo que consiste no depósito de finas camadas de um metal sobre superfícies de corpos metálicos ou não, por meios químicos ou eletroquímicos, a partir de soluções aquosas que contêm metais, tais como, cromo, níquel, cobre, zinco, cádmio, entre outros, seguidos de enxágues com água para limpeza (Costa, 1998). O objetivo deste processo é garantir a proteção da peça tratada contra agentes corrosivos, aumento da espessura, melhoria da resistência mecânica, preparação para operações de soldagem, isolamento elétrico e aspectos decorativos (Burgess, 1995; Pugas, 2007). Durante a galvanoplastia são consumidos grandes volumes de água, pois, após cada etapa do processo galvânico, as peças passam por uma sequência de banhos químicos (desengraxantes e decapantes, para limpeza das peças) e eletroquímicos (revestimento metálico das peças), seguidos por lavagens (Chepcanoff, 2001). Os efluentes gerados a partir desses banhos são extremamente poluidores, devido à grande quantidade de metais pesados encontrados em sua composição.

Com o intuito de estabelecer padrões e limites para os lançamentos de efluentes nos corpos d'água, o Conselho Nacional do Meio Ambiente (CONAMA) criou a Resolução nº 430/2011, especificando as concentrações máximas de compostos orgânicos e inorgânicos permitidas em efluentes tratados. Para os metais níquel e ferro, os valores máximos permitidos são 2,0 mg/L e 15,0 mg/L, respectivamente. Quanto ao cromo, devem ser respeitados os limites máximos de 1,0 mg/L de Cr³+ e 0,1 mg/L de Cr6+ (Brasil, 2011). Considerando-se que as concentrações máximas de metais pesados previstas na legislação são bastantes reduzidas quando comparadas àquelas observadas em efluentes galvânicos brutos, faz-se necessário buscar alternativas de tratamento a essa categoria de efluentes, que sejam eficientes e minimizem a geração de resíduos tóxicos.







A remoção de metais presentes em efluentes galvânicos pode ser efetuada empregando-se técnicas como a precipitação química, adsorção em carvão, troca iônica e osmose reversa (Metcalf & Eddy, 2016). A precipitação química é a tecnologia mais utilizada, devido ao custo reduzido e fácil execução. Esta técnica envolve o ajuste de pH do efluente, com ácido ou álcali, de forma a diminuir a solubilidade de metais dissolvidos e consequentemente precipitar os metais sob a forma de hidróxidos metálicos (Cavalcanti, 2009). Os processos oxidativos avançados (POAs) são também uma alternativa a ser considerada no tratamento de efluentes industriais, inclusive para a remoção de metais. Caracterizam-se pela geração de radicais hidroxila (HO•), altamente oxidantes e capazes de reagir praticamente com todas as classes de compostos orgânicos e inorgânicos (Buxton et al., 1988; Albuquerque, 2005).

O ozônio (O<sub>3</sub>) é muito utilizado nos POAs, pois é um gás instável, muito solúvel em água, de alto poder oxidante e com ação desinfetante mais intensa e mais rápida que o cloro (Ritcher & Azevedo Netto, 2000). As equações (1) a (7), propostas por Leme (2014), demonstram a formação e decomposição do ozônio em meio aquoso.

$O_2 \rightarrow O^+ + O^-$	equação (1)
$O^+ + O^- + e^- \rightarrow O_2$	equação (2)
$2 O^+ + O^- + M \rightarrow O_3 + M$	equação (3)
$O_3 + H_2O \rightarrow HO_3^+ + OH^-$	equação (4)
$HO_3^+ + OH^- \rightarrow 2 HO_2$	equação (5)
$O_3 + HO_2 \rightarrow HO + 2 O_2$	equação (6)
$HO + HO_2 \rightarrow H_2O + O_2$	equação (7)

As equações (1), (2) e (3) representam a formação do ozônio. Na equação (3), M representa a molécula de gás utilizado para retirar o excesso de energia da reação para estabilização da molécula de ozônio, podendo ser  $O_2$ ,  $N_2$ , entre outros (Leme, 2014). Na sequência, o ozônio formado reage com água, originando radicais livres (equação (4)), como os radicais  $HO_2$  e HO (equações (5) e (6)), que promovem a oxidação dos metais em solução. Caso seja aplicado com total eficiência, ao final do processo de oxidação há a formação de  $H_2O$  e  $O_2$ , produtos atóxicos (equação (7)).

A precipitação de metais presentes nos efluentes galvânicos gera grande volume de lodo, classificado como resíduo classe I (perigoso), segundo a NBR 10004 (ABNT, 2004). Este lodo necessita de descarte adequado em centrais de disposição de resíduos industriais, representando um alto custo, pois o valor de disposição soma-se ao valor dispensado para adquirir a grande quantidade de metais descartada no lodo (Benvenuti, 2012). Assim, a recuperação de metais com alto valor agregado contidos no lodo galvânico torna-se uma alternativa interessante tanto ao meio ambiente (diminuindo-se os resíduos sólidos destinados à natureza), quanto às indústrias, que terão ganhos econômicos com a reinserção do metal recuperado ao processo produtivo e com a diminuição do lodo a ser encaminhado para aterros licenciados. Nesse contexto, o presente estudo teve como objetivo caracterizar um efluente de indústria metal-mecânica após os tratamentos combinados de filtração, ozonização e neutralização. Foram caracterizadas amostras líquidas de efluente e dos precipitados obtidos em cada etapa de tratamento, visando avaliar a recuperação do níquel presente no efluente em concentrações elevadas.

## **MATERIAIS E MÉTODOS**

#### **Materiais**

O efluente analisado é proveniente de uma indústria metal-mecânica localizada no estado do Rio Grande do Sul/RS. A amostra foi disponibilizada no Centro de Estudos Ambientais da Universidade La Salle, em Nova Santa Rita/RS e foi mantida em um galão plástico à temperatura ambiente para realização dos ensaios. A neutralização e acidificação das amostras de efluente foram realizadas com solução de NaOH 1M (Dinâmica) e  $H_2SO_4$  1M (Synth), respectivamente. No preparo das soluções foi utilizada água deionizada (Milli-Q) e reagentes com grau analítico (P.A.).







## **Equipamentos**

A etapa de filtração foi realizada com bomba de sucção (Prismatec, modelo 132). Durante a ozonização do efluente utilizou-se um concentrador de O<sub>2</sub> (Philips, modelo Everflo) e um ozonizador (Ecozon, modelo DCGO1). As medições de pH foram realizadas com pHmetro (Hanna, modelo HI 8424). A agitação do efluente durante a neutralização foi efetuada com agitador magnético (Fisatom, modelo 752), enquanto que a pesagem e secagem dos precipitados foram realizadas em balança analítica (BEL, modelo M214Ai) e em estufa (Gehaka, modelo G4023D), respectivamente.

## **Procedimento experimental**

O procedimento experimental do presente trabalho teve 3 etapas: (i) filtração – tratamento 1; (ii) ozonização – tratamento 2; e (iii) neutralização – tratamento 3. Em cada etapa de tratamento foram realizadas caracterizações das amostras líquidas de efluente e das amostras sólidas obtidas. A Figura 1 apresenta o fluxograma das etapas do procedimento experimental realizado nesse estudo.

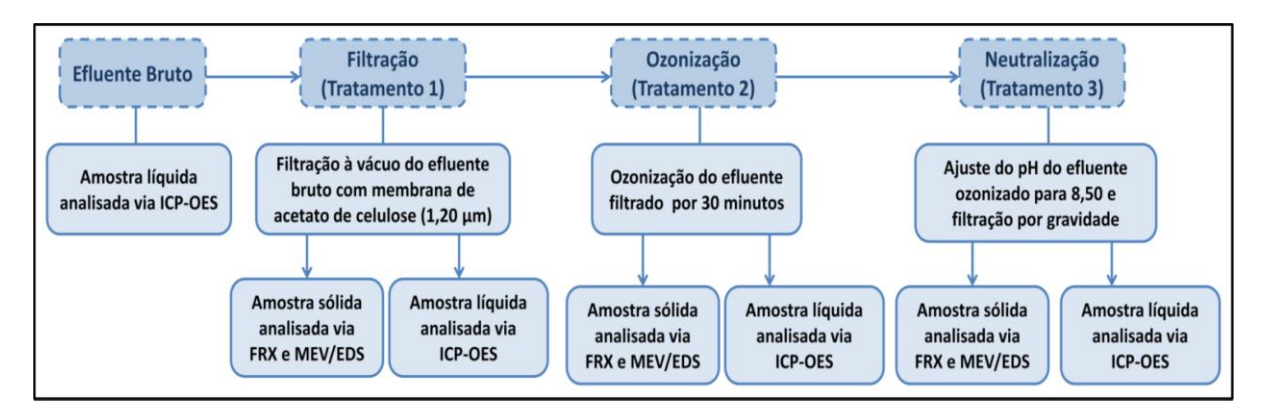


Figura 1: Fluxograma do procedimento experimental executado nesse estudo.

Na etapa de filtração (tratamento 1), o efluente bruto contido no galão (5 L) foi agitado para homogeneização e foi efetuada a medição do valor de pH. A filtração do material sólido em suspensão contido no efluente foi realizada em sistema de filtração a vácuo com membrana filtrante de acetato de celulose de 1,2 µm. Neste procedimento foram separados 80 mL de amostra bruta, acidificada com solução de  $H_2SO_4$  1M até pH 1,11, para análise posterior. O restante da amostra foi filtrada a vácuo, teve o pH medido e o precipitado obtido foi reservado para caracterização da amostra sólida. Ao final dessa etapa de tratamento uma amostra de 80 mL de efluente filtrado foi acidificada com solução de  $H_2SO_4$  1M, para análise posterior.

A etapa de ozonização (tratamento 2) foi realizada para promover a remoção de metais considerados contaminantes, que estavam presentes na amostra de efluente filtrado. A ozonização foi realizada com um concentrador de  $O_2$  (que capta ar atmosférico, adsorve oxigênio e realiza a purga de nitrogênio e outros gases), acoplado a um ozonizador (que converte o  $O_2$  em  $O_3$ ). O sistema foi conectado a um erlenmeyer, onde adicionou-se 1,6 L de efluente filtrado, mantido sob agitação. Ajustou-se a vazão de oxigênio para 5 L/min e manteve-se o sistema fechado, para evitar a fuga de ozônio. A amostra foi submetida ao processo de ozonização por 30 minutos. Após esse tratamento mediu-se o pH do efluente ozonizado e efetuou-se a filtração a vácuo, com a análise posterior do precipitado e da amostra líquida obtida após o tratamento realizado.

Após o processo de ozonização o efluente foi submetido a uma etapa de neutralização (tratamento 3). Neste processo utilizou-se 1,25 L de efluente ozonizado. Ajustou-se o pH do efluente para 8,50 com solução de NaOH 1M, mantendo-se o sistema sob agitação por 15 minutos. Na sequência, o efluente neutralizado foi filtrado por gravidade para separação do precipitado formado, posteriormente caracterizado. Uma amostra de 80 mL de efluente obtido após o processo de neutralização foi coletada, acidificada com solução de  $\rm H_2SO_4$  1M e analisada.







## Caracterização das amostras líquidas de efluente

As amostras líquidas de efluente bruto e aquelas obtidas após cada uma das etapas de tratamento (filtração, ozonização e neutralização) foram caracterizadas através da técnica de espectrometria de emissão óptica com plasma acoplado indutivamente (ICP-OES) (Agilent, modelo 710 Axial), para a determinação das concentrações de metais pesados contidos no efluente após os tratamentos avaliados.

## Caracterização das amostras sólidas obtidas

As amostras sólidas obtidas após cada etapa de tratamento foram submetidas à secagem em estufa a 105°C, pelo período de 1 hora, com análise posterior através das técnicas de fluorescência de raios X (FRX) (Shimadzu, modelo XRF 1800F) e microscopia eletrônica de varredura (MEV) (Phenom, modelo Pro-X) acoplado ao sistema EDS (Oxford Instruments).

## **RESULTADOS E DISCUSSÕES**

#### Caracterização das amostras líquidas de efluente

A caracterização das amostras líquidas de efluente galvânico foi efetuada antes e após os ensaios de filtração, ozonização e neutralização, através de análises via ICP-OES. Os resultados obtidos nos ensaios são apresentados na Tabela 1.

Os resultados das análises via ICP-OES indicam que o efluente bruto apresentava concentrações elevadas de níquel (1379,49 mg/L), sódio (864 mg/L) e boro (107 mg/L). Outros elementos, como o ferro (34,9 mg/L) e potássio (26,7 mg/L) também estavam presentes em concentrações consideráveis no efluente bruto. Observouse que a concentração de cromo era baixa (0,77 mg/L). Após a filtração (tratamento 1), verificou-se a diminuição na concentração de todos os elementos que compõem o efluente, à exceção daqueles presentes em concentrações muito reduzidas (≤0,2 mg/L), que permaneceram constantes. Nesta etapa, foram verificadas concentrações de 1028,29 mg/L de níquel, 666 mg/L de sódio e 73,1 mg/L de boro. Observou-se o aumento do pH do efluente filtrado (de 6,50 a 6,95) e a redução da concentração de ferro na amostra (de 34,9 mg/L no efluente bruto para 1,60 mg/L após a filtração). A redução da concentração de ferro no efluente justifica-se pelo comportamento do Fe<sup>2+</sup> em solução, que em pH acima de 4,5 começa a ser oxidado por oxigênio dissolvido a Fe<sup>3+</sup>, precipitando totalmente acima de pH 7,0 (Ponte, 2017). A redução da concentração de cromo no efluente filtrado (de 0,77 mg/L para 0,05 mg/L) deve-se à diferença entre o valor de pH da amostra de efluente (pH 6,95) e a faixa de pH de precipitação do cromo como hidróxido, que inicia em pH 4,5 até 8,5, conforme a concentração da espécie no efluente (Metcalf & Eddy, 2016).

Durante a ozonização (tratamento 2), o pH do efluente permaneceu praticamente constante (pH 6,98). Reduções consideráveis nas concentrações de ferro (<0,1 mg/L) e cromo (<0,01 mg/L) foram observadas. Em contrapartida, verificou-se o aumento da concentração de níquel (1595,51 mg/L), sódio (1253 mg/L) e boro (123 mg/L). As variações na concentração dos elementos justificam-se em razão da complexidade dos caminhos possíveis das reações de ozonização, que não permitem prever todos os subprodutos que podem ser gerados em uma determinada aplicação (Angioletto et al., 2016). Embora a análise das amostras líquidas por ICP-OES tenha indicado que as concentrações de manganês mantiveram-se constantes durante os tratamentos 1, 2 e 3, observou-se na análise das amostras sólidas por FRX que durante a etapa de ozonização ocorreu uma considerável remoção desse metal, fato comprovado pelo percentual de manganês na amostra sólida obtida após a ozonização (13,68%).







Tabela 1: Caracterização do efluente bruto e tratado após a filtração (tratamento 1), ozonização (tratamento 2) e neutralização (tratamento 3).

Parâmetro	Unidade	Efluente Bruto	Efluente após o tratamento (1)	Efluente após o tratamento (2)	Efluente após o tratamento (3)
Alumínio Total	mg Al/L	0,23	0,2	0,18	< 0,05
Bário Total	mg Ba/L	0,04	0,03	0,04	0,03
Berílio Total	mg Be/L	<0,004	< 0,004	< 0,004	<0,004
Bismuto Total	mg Bi/L	<0,1	<0,1	<0,1	<0,1
Boro Total	mg B/L	107	73,1	123	73,1
Cádmio Total	mg Cd/L	<0,001	< 0,001	< 0,001	< 0,001
Cálcio Total	mg Ca/L	19,1	11,5	3,59	3,34
Chumbo Total	mg Pb/L	0,12	0,09	0,12	< 0,01
Cobalto Total	mg Co/L	1,16	0,86	1,33	0,14
Cobre Total	mg Cu/L	0,22	0,03	< 0,009	< 0,009
Cromo Total	mg Cr/L	0,77	0,05	< 0,01	< 0,01
Escândio Total	mg Sc/L	< 0,03	< 0,03	< 0,03	< 0,03
Estanho Total	mg Sn/L	<0,2	<0,2	<0,2	<0,2
Estrôncio Total	mg Sr/L	< 0,1	<0,1	<0,1	<0,1
Ferro Total	mg Fe/L	34,9	1,6	< 0,1	<0,1
Ítrio Total	mg Y/L	< 0,1	<0,1	< 0,1	< 0,1
Lantânio Total	mg La/L	<0,2	<0,2	<0,2	<0,2
Lítio Total	mg Li/L	<0,1	<0,1	<0,1	<0,1
Magnésio Total	mg Mg/L	2,03	1,63	1,99	1,57
Manganês Total	mg Mn/L	< 0,025	< 0,025	< 0,025	< 0,025
Molibdênio Total	mg Mo/L	< 0,01	< 0,01	< 0,01	< 0,01
Níquel Total	mg Ni/L	1379,49	1028,29	1595,51	101,02
Potássio Total	mg K/L	26,7	20,6	31,2	31,9
Prata Total	mg Ag/L	0,015	0,005	< 0,005	0,005
Sódio Total	mg Na/L	864	666	1253	2297
Telúrio Total	mg Te/L	0,41	0,34	0,5	<0,3
Titânio Total	mg Ti/L	<0,1	<0,1	<0,1	<0,1
Tungstênio Total	mg W/L	<0,2	<0,2	<0,2	<0,2
Vanádio Total	mg V/L	< 0,02	< 0,02	< 0,02	< 0,02
Zinco Total	mg Zn/L	8,11	6,26	9,61	0,63
Zircônio Total	mg Zr/L	<0,2	<0,2	<0,2	<0,2
pН	-	6,5	6,95	6,98	8,5

Na etapa de neutralização (tratamento 3), o pH do efluente foi ajustado para 8,50 para possibilitar a precipitação seletiva do níquel, presente em grande concentração no efluente. Os resultados indicam que a recuperação de níquel foi satisfatória, pois após a neutralização, a concentração de níquel no efluente foi reduzida a 101,02 mg/L, indicando um percentual de remoção de 92,68%. Ao final do processo de neutralização observou-se a redução das concentrações de praticamente todos os elementos que compõem a amostra de efluente, à exceção do sódio. O aumento da concentração deste elemento foi devido à utilização de solução de NaOH 1M em excesso para a precipitação de níquel. Após o processo de neutralização, o sódio adicionado em excesso permaneceu em solução, aumentando a concentração desse elemento no efluente.

Destaca-se que no caso dos elementos cromo (<0,01 mg/L) e ferro (<0,1 mg/L), as concentrações verificadas na etapa de ozonização e neutralização mantiveram-se constantes. De qualquer modo, após os tratamentos, as concentrações desses elementos no efluente atenderam aos limites estabelecidos na Resolução CONAMA 430/11 para as espécies Cr³+ (1,00 mg/L), Cr⁶+ (0,10 mg/L) e para o ferro total (15 mg/L). Quanto ao níquel, os tratamentos realizados não foram suficientes para enquadrar a concentração desse metal aos limites previstos pela legislação brasileira (2,0 mg/L), pois após a neutralização, a concentração de níquel no efluente permaneceu elevada (101,02 mg/L). Uma alternativa a ser considerada seria a realização do processo de







neutralização do efluente a um pH mais elevado, pois a faixa de pH de precipitação do níquel varia de 7,5 a 10,0 (Cavalcanti, 2009).

## Caracterização das amostras sólidas obtidas

Após a filtração do efluente bruto obteve-se uma amostra sólida de massa 0,8675 g e coloração marrom alaranjada, apresentada na Figura 2.



Figura 2: Aspecto da amostra sólida obtida após o tratamento 1 (filtração).

Para identificação das substâncias que compõem a amostra sólida, efetuou-se a análise por FRX. A Figura 3 apresenta os resultados obtidos nesse ensaio.

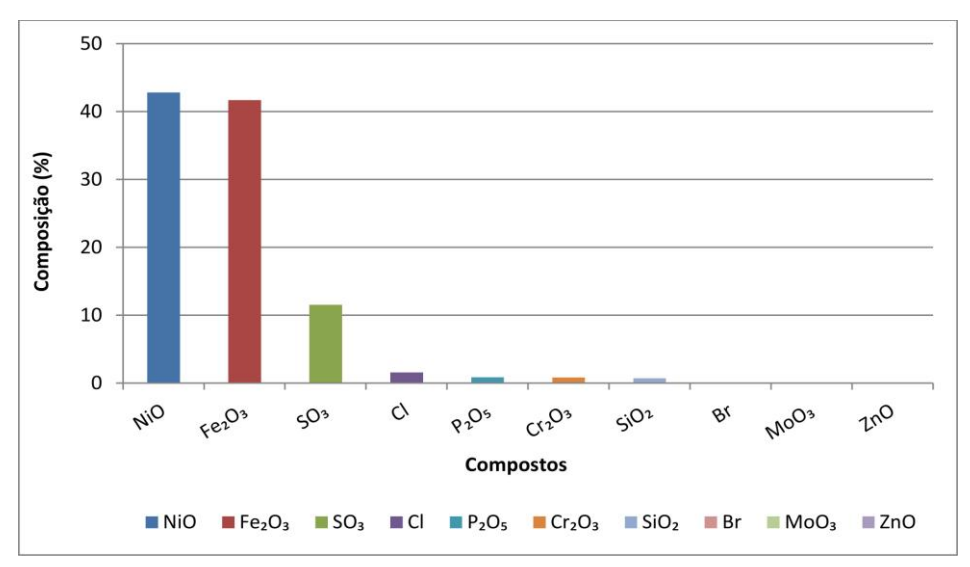


Figura 3: Composição da amostra sólida após o tratamento 1 (filtração).

A partir da análise por FRX, constatou-se que a amostra sólida obtida após a filtração era composta principalmente por NiO (42,79%) e Fe $_2O_3$  (41,69%), que totalizavam 84,48% da amostra. Considerando os elementos níquel e ferro isoladamente, foi observado que a amostra apresentava 33,62% de níquel e 14,58% de ferro. A elevada concentração de ferro na amostra sólida indicou que o processo de filtração removeu a maior parcela deste metal contida no efluente. O mesmo ocorreu com o cromo, presente em 0,28% da amostra sólida. A precipitação do ferro contido na amostra sólida foi possibilitada devido ao pH de precipitação característico desse elemento (que varia de valores acima de 4,5 até 7,0, conforme a espécie de ferro analisada), e em razão do baixo produto de solubilidade do ferro  $(3,8 \times 10^{-38})$ , mesmo na presença de outros íons em solução (Vogel, 1981).

Na etapa de ozonização, o ozônio dissolvido no efluente atuou na oxidação de íons metálicos em suspensão, inertizando-os e/ou promovendo sua transformação em óxidos metálicos. A Figura 4 apresenta os resultados da análise da amostra sólida por FRX.







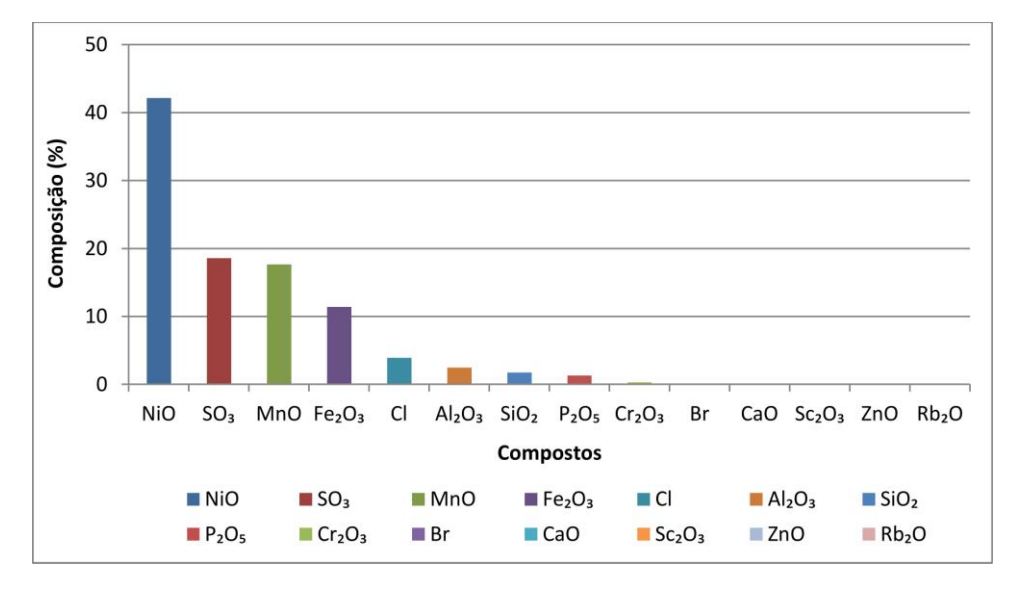


Figura 4: Composição da amostra sólida após o tratamento 2 (ozonização).

Ao final do processo de ozonização do efluente, obteve-se um precipitado de 0,169 g, de coloração marrom escuro, conforme Figura 5.



Figura 5: Aspecto da amostra sólida obtida após o tratamento 2 (ozonização).

A partir da análise por FRX, foi possível identificar que esse precipitado era composto principalmente por NiO (42,17%), SO<sub>3</sub> (18,58%), MnO (17,66%) e Fe<sub>2</sub>O<sub>3</sub> (11,41%). Os percentuais dos elementos na amostra foram de 33,14% de níquel, 13,68% de manganês, 7,44% de enxofre e 3,99% de ferro.

Verificou-se que o tratamento com ozônio foi especialmente eficaz na remoção de metais como o fósforo, zinco e manganês, uma vez que não foi detectada a presença desses metais na análise da amostra sólida subsequente (após a neutralização). Ocorreu também a remoção de cromo, presente em 0,11% da amostra. A análise das amostras sólidas por FRX foi efetuada em conjunto com a análise por MEV/EDS, para a identificação dos átomos que compõem a superfície do sólido. Os resultados das análises são apresentados na Figura 6.







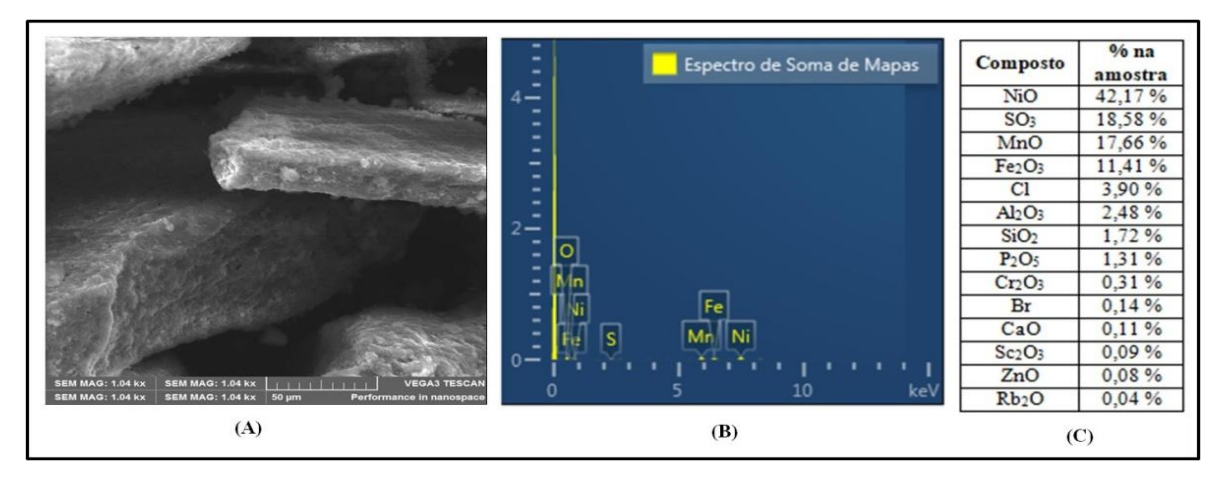


Figura 6: Imagem MEV da amostra sólida após ozonização - aumento de 1000x (A), espectro EDS (B) e percentuais das substâncias que compõem a amostra sólida, identificados através de FRX (C).

Observando-se o espectro EDS apresentado na Figura 6, verifica-se que a superfície da amostra é composta por átomos de oxigênio, manganês, níquel, ferro e enxofre. Essa informação foi confirmada através da análise de FRX, que identificou a presença de NiO, SO<sub>3</sub>, MnO e Fe<sub>2</sub>O<sub>3</sub>, que compõem a quase totalidade da amostra sólida (89,82%) e que, por sua vez, são formados por átomos identificados no espectro EDS.

A análise da amostra líquida de efluente ozonizado por ICP-OES comprovou que o efluente ainda continha elevada concentração de níquel antes da etapa de neutralização. Considerando-se esse aspecto, na etapa de neutralização o pH da amostra foi elevado para 8,50, possibilitando a precipitação do níquel em solução. A escolha do pH de precipitação do níquel baseou-se em estudos como o de Kurniawan et al. (2006), que verificou que o aumento do pH de um efluente contendo níquel para valores de 7,5 a 10,5 com o emprego de soluções alcalinas, permitiu obter um precipitado com até 85% de níquel puro. Ao final do processo de neutralização, obteve-se um precipitado de coloração esverdeada, pesando 4,7416 g (apresentado na Figura 7).



Figura 7: Aspecto da amostra sólida obtida após o tratamento 3 (neutralização).

Assim como ocorreu nas etapas de tratamento anteriores, o precipitado obtido após a neutralização do efluente galvânico foi analisado através da técnica de FRX. Os resultados obtidos nessa análise são apresentados na Figura 8.







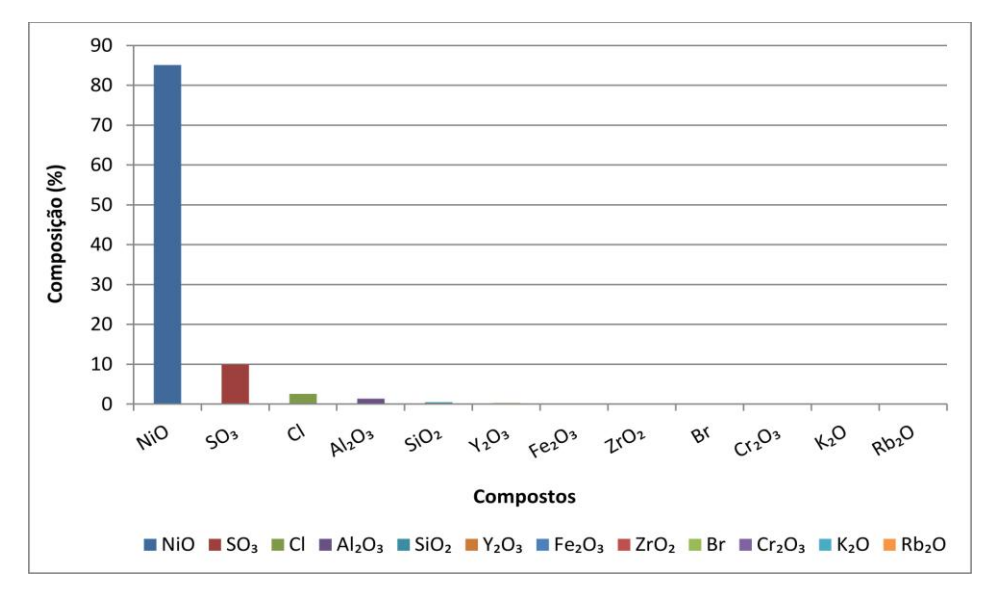


Figura 8: Composição da amostra sólida após o tratamento 3 (neutralização).

A análise da amostra sólida por FRX indicou que o precipitado era composto principalmente por NiO (85,06%), com um teor de níquel de 66,84%. Identificou-se também a presença de  $SO_3$  (9,92%) e Cl (2,53%) na amostra. Comparando-se as amostras sólidas obtidas após a ozonização e neutralização, foi observada a redução dos percentuais de ferro e cromo presentes nos sólidos, passando de 11,41% para 0,14% de  $Fe_2O_3$  e 0,31% para 0,06% de  $Cr_2O_3$  nas amostras. Os percentuais desses metais na amostra sólida (após neutralização) foram de 0,02% de cromo e 0,05% de ferro.

Além da análise por FRX, realizou-se a análise da amostra sólida via MEV/EDS, para determinação dos átomos presentes na superfície do sólido. A Figura 9 apresenta os resultados obtidos nesses ensaios.

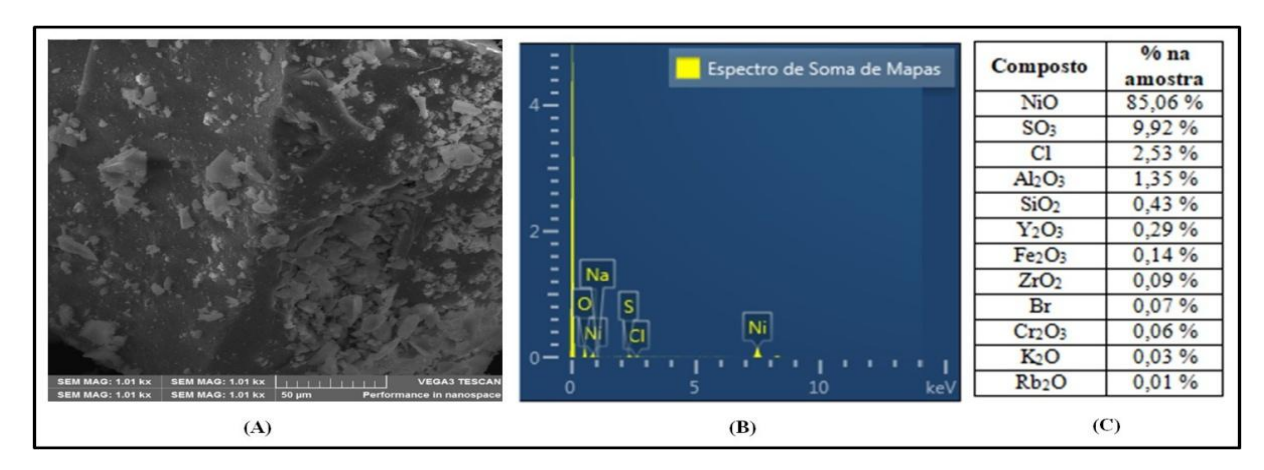


Figura 9: Imagem MEV da amostra sólida após a neutralização do efluente - aumento de 1000x (A), espectro EDS (B) e percentuais das substâncias que compõem a amostra sólida, identificados através de FRX (C).

O espectro EDS da amostra sólida evidencia a presença de átomos de níquel, oxigênio, sódio, enxofre e cloro na superfície do sólido analisado. Comparando-se os elementos que constam no espectro EDS e os compostos detectados através da técnica de FRX, verifica-se que, à exceção do sódio, os átomos presentes na superfície do sólido compõem também a maior parte dos compostos identificados no interior da amostra (NiO, SO<sub>3</sub> e Cl). A presença de átomos de sódio na superfície da amostra analisada se deve ao excesso de solução de NaOH 1 M utilizada durante a neutralização do efluente. A solução foi adicionada em excesso para assegurar a precipitação do níquel contido no efluente. Conforme verificou-se na análise por ICP-OES, a maior parcela de sódio permaneceu em solução após a neutralização do efluente, indicando que o sódio presente na superfície do sólido é residual.







Analisando-se a amostra sólida obtida após o processo de neutralização, observa-se que os tratamentos propostos foram eficazes na obtenção de níquel, pois o precipitado obtido apresenta 66,84% de níquel em sua composição. Pelo fato dos metais cromo e ferro estarem presentes na amostra sólida em um percentual muito reduzido (0,02% de cromo e 0,05% de ferro), observa-se que sua remoção foi satisfatória.

## **CONCLUSÕES**

O presente estudo demonstrou que a combinação dos tratamentos de filtração, ozonização e neutralização são eficazes na recuperação do níquel contido em efluentes galvânicos, obtendo-se ao final do processo de neutralização um precipitado com 66,84% de níquel em sua composição. O reaproveitamento de níquel foi igualmente observado durante a análise das amostras líquidas por ICP-OES, onde verificou-se a remoção de 92,68% deste elemento contido no efluente galvânico. Os tratamentos propostos neste estudo também apresentaram desempenho satisfatório na remoção de ferro e cromo contidos no efluente galvânico. Ao final dos processos, as concentrações de cromo e ferro foram, respectivamente, <0,01 mg/L e <0,1 mg/L, valores muito reduzidos quando comparados às concentrações desses elementos no efluente bruto. Foi possível adequar as concentrações finais de cromo e ferro presentes no efluente galvânico aos limites estabelecidos na legislação brasileira para o lançamento de efluentes nos corpos d'água (Resolução CONAMA 430/11). Entretanto, mesmo após a realização dos tratamentos propostos, a concentração de níquel no efluente era elevada (101,02 mg/L), sendo superior ao valor previsto na legislação brasileira. Uma alternativa que pode ser implementada em estudos futuros é a investigação da eficiência da precipitação de níquel em valores de pH superiores à 8,50. De qualquer forma, o modelo de tratamento avaliado neste estudo demonstrou ser eficiente na remoção de cromo e ferro e na recuperação de níquel presente em efluentes galvânicos, possibilitando a obtenção um precipitado rico em níquel ao final dos tratamentos propostos.

## **AGRADECIMENTOS**

Os autores agradecem à Coordenação de Aperfeiçoamento de Pessoal de Nível Superior (CAPES), pelo benefício CAPES/PROSUC (taxas escolares) concedido à aluna Ana Carolina Favero.

# REFERÊNCIAS BIBLIOGRÁFICAS

- ALBUQUERQUE, L.F. Estudo da oxidação do metabissulfito de sódio contido no efluente da carcinicultura. Natal, 2005. Dissertação de mestrado - Universidade Federal do Rio Grande do Norte, 2005.
- ANGIOLETTO, E., CARVALHO, E.F.U., BIAZINI FILHO, F.L., LAGE FILHO, F.A., RIELLA, H.G., SANTOS, I., DEPINTOR, J.C., BOSCOV, M.E.G., MENASCE, S. Ozônio na recuperação de solos e recursos hídricos contaminados por mineração. Criciúma: UNESC, 2016. 247 p.
- 3. ABNT. Associação Brasileira de Normas Técnicas. NBR 10004: Resíduos sólidos: classificação. Rio de Janeiro: ABNT, 2004. 71 p.
- 4. BENVENUTI, T. Avaliação da eletrodiálise no tratamento de efluentes de processos de eletrodeposição de níquel. Porto Alegre, 2012. Dissertação de mestrado Universidade Federal do Rio Grande do Sul, 2012.
- 5. BROWN, T.L., LEMAY, H.E., BURSTEN, B.E., BURDGE, J.R. Química: a ciência central. 9. ed. São Paulo: Pearson, 2005. 1152 p.
- 6. BRASIL. Resolução Conama nº 430/2011. Disponível em: <a href="http://www.mma.gov.br/port/conama/res/res11/res43011.pdf">http://www.mma.gov.br/port/conama/res/res11/res43011.pdf</a>>. Acesso em: 21 Abr. 2019.
- 7. BURGESS, W.A. *Recognition of health hazards in industry: a review of materials and processes*. 2. ed. New York: John Wiley & Sons, 1995. 560 p.
- 8. BUXTON, G.V., GREENSTOCK, C.L., HELMAN, W.P., ROSS, A.B. Critical review of rate constants for reactions of hydrated electrons, hydrogen atoms and hydroxyl radicals (•OH/•O-) in aqueous solution. Journal of Physical and Chemical Reference Data, v. 17, p. 513-886, Jan. 1988.







- CAVALCANTI, J.E.W. Manual de tratamento de efluentes industriais. 1. ed. São Paulo: Engenho, 2009. 453 p.
- COSTA, C.A. Sorção de íons cobre, níquel e zinco com rejeito do beneficiamento de carvões e outros materiais alternativos. Porto Alegre, 1998. Dissertação de mestrado - Universidade Federal do Rio Grande do Sul, 1998.
- 11. CHEPCANOFF, V. Separação e recuperação de crômio e outros elementos de valor em soluções de trabalho e resíduos industriais de galvanoplastia por troca iônica. São Paulo, 2001. Dissertação de mestrado Instituto de Pesquisas Energéticas e Nucleares, 2001.
- 12. KURNIAWAN, T.A., CHAN, G.Y.S., HUNGLO, W., BABEL, S. *Physico-chemical treatment techniques for wastewater laden with heavy metals. Chemical Engineering Journal*, v. 118, p. 83-98, May 2006.
- 13. LEME, E.J.A. Manual prático de tratamento de águas residuárias. 2. ed. São Carlos: EDUFSCAR, 2014. 599 p.
- 14. MACCHI, G., PAGANO, M., PETTINE, M., SANTORI, M., TIRAVANTI, G. A bench study on chromium recovery from tannery sludge. Water Research Institute. v. 25, n. 8, p. 1019-1026, Aug. 1991.
- 15. METCALF, L., EDDY, H.P. Tratamento de efluentes e recuperação de recursos. 5. ed. Porto Alegre: AMGH, 2016. 1980 p.
- 16. NETO, A.P., BRETZ, J.S., MAGALHÃES, F.S., MANSUR, M.B., ROCHA, S.D.F. Alternativas para o tratamento de efluentes da indústria galvânica. Engenharia Sanitária e Ambiental, v. 13, n. 3, p. 263-270, Jul/Set 2008.
- 17. NUNES, J.A. Tratamento físico-químico de águas residuárias industriais. 4. ed. Aracajú: J. Andrade, 2004. 298 p.
- 18. PONTE, H.A. Tratamento de efluentes líquidos de galvanoplastia. Curitiba: UFPR, 2017. Disponível em: <a href="https://pt.scribd.com/document/80098018/Tratamento-de-Efluentes">https://pt.scribd.com/document/80098018/Tratamento-de-Efluentes</a>. Acesso em: 21 Abr. 2019.
- 19. PUGAS, M.S. Íons de metais pesados Ni, Cu e Cr em área impactada por resíduo de galvanoplastia na região metropolitana de São Paulo SP. São Paulo, 2007. Dissertação de mestrado Universidade de São Paulo, 2007.
- 20. RITCHER, C.A., AZEVEDO NETTO, J.M. Tratamento de água tecnologia atualizada. 3 ed. São Paulo: Edgard Blücher, 2000. 332 p.
- 21. SILVA, A.M. Remoção do manganês de efluentes industriais utilizando calcário. Ouro Preto, 2007. Dissertação de mestrado Universidade Federal de Ouro Preto e Universidade Estadual de Minas Gerais, 2007.
- 22. SKOOG, D.A., WEST, D.M., HOLLER, F.J., CROUCH, S. R. Fundamentos de química analítica. 8. ed. São Paulo: Thomson, 2005. 999 p.
- 23. VOGEL, A.I. Química Analítica Qualitativa. 5. ed. São Paulo: Mestre Jou, 1981. 659 p.